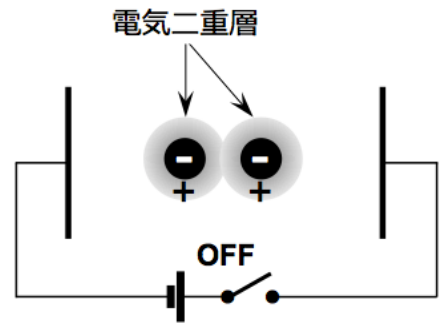
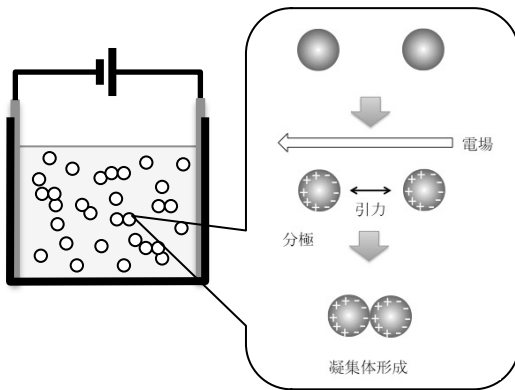
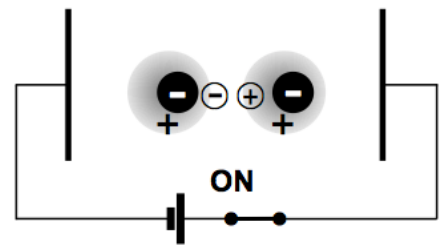


頁	誤	正
26	低 pH : $\text{MO-OH}+\text{H}^+ \rightarrow \text{MOH}_2^+$ 高 pH : $\text{MO-OH}+\text{OH}^- \rightarrow \text{MO}^- + \text{H}_2\text{O}$	低 pH : $\text{M-OH}+\text{H}^+ \rightarrow \text{M-OH}_2^+$ 高 pH : $\text{M-OH}+\text{OH}^- \rightarrow \text{M-O}^- + \text{H}_2\text{O}$
57	式(4.9) $F = \frac{\pi x \epsilon_0 \epsilon_r \Psi_\zeta^2 \kappa}{1 + \exp(-\kappa h)} - \frac{A_{132} X}{24 h^2}$	$F = \frac{\pi x \epsilon_0 \epsilon_r \Psi_\zeta^2 \kappa}{1 + \exp(\kappa h)} - \frac{A_{132} X}{24 h^2}$
78	式(5.16)の下2行目 電気二重層の厚さは粒子径程度なので $\kappa x \approx 1$ となる。	電気二重層の厚さはイオン濃度が低いほど厚く、図 3.9 に示したように純水で $0.8\mu\text{m}$ となる。
95	文献 16) 浅井一輝, 長縄佳祐, 森隆昌	浅井一輝, 長縄佳祐, 森隆昌, 椿淳一郎
107	6.2.3 pH, 分散剤添加の影響	6.2.3 分散剤添加の影響
115	図 6.23 「CMC,1.0」の矢印	一つ下のデータ曲線を指す。
165	図 8.26 図中説明 $0.3\text{mg} \cdot \text{g}^{-1} \text{Al}_2\text{O}_3$	$3\text{mg} \cdot \text{g}^{-1} \text{Al}_2\text{O}_3$
166	文献 4) “Experimental Study about the Agglomeration Behavior in Slurry Prepared by Adding E”	“Experimental Study about the Agglomeration Behavior in Slurry Prepared by Adding Excess Polyelectrolyte Dispersant”
219	↓8行目 スラリー中の粒子が分極し,	粒子の電荷と電気二重層拡散層内の対イオンの電荷が分極し,

219 図 15.1



電気二重層の重なり → 反発力



電気二重層の分極 → 引力

243 ↓11 行目 野村 亨平
↑5 行目 盛田 雅也

野村 亨平
森田 雅也